

LATITUDE INTEGRATION
ŠPECIFIKÁCIA IDCO

LATITUDE™ NXT
System monitorovania pacienta

Outdated version. Do not use.
Version überholt. Nicht verwenden.
Version obsolète. Ne pas utiliser.
Versión obsoleta. No utilizar.
Versione obsoleta. Non utilizzare.
Verouderde versie. Niet gebruiken.
Föråldrad version. Använd ej.
Παλιά έκδοση. Μην την χρησιμοποιείτε.
Versão obsoleta. Não utilize.
Forældet version. Må ikke anvendes.
Zastaralá verze. Nepoužívat.
Utdatert versjon. Skal ikke brukes.
Zastaraná verzia. Nepoužívať.
Elavult verzió. Ne használja!
Wersja nieaktualna. Nie używać.

Outdated version. Do not use.
Version überholt. Nicht verwenden.
Version obsolète. Ne pas utiliser.
Versión obsoleta. No utilizar.
Versione obsoleta. Non utilizzare.
Verouderde versie. Niet gebruiken.
Föråldrad version. Använd ej.
Παλιά έκδοση. Μην την χρησιμοποιείτε.
Versão obsoleta. Não utilize.
Forældet version. Må ikke anvendes.
Zastaralá verze. Nepoužívat.
Utdatert versjon. Skal ikke brukes.
Zastaraná verzia. Nepoužívať.
Elavult verzió. Ne használja!
Wersja nieaktualna. Nie używać.

OBSAH

Prehľad	1
Špecifikácie hlásení LATITUDE IDCO	1
Štruktúra segmentu	1
Štruktúra segmentu MSH	1
Štruktúra segmentu PID	2
Štruktúra segmentu PV1	2
Štruktúra segmentu PV2	2
Štruktúra segmentu OBR	2
Štruktúra segmentu OBX	3
Parametre výstupu	3
Definície výstrah a varovaní	3
Správy	3
Základné pojmy	4
Konverzia údajov implantovaného zariadenia do hlásení IDCO	8
Stav batérie	8
SET_BRADY_SENSOR_TYPE	8
Mapovanie epizódy	9
Mapovanie počítadiel	10
Mapovanie konfigurácie elektródy	11
Obmedzenia systému	11
Definície výstrah a varovaní	12
Správy	12
Príklad súboru IDCO	13

Outdated version. Do not use.
Version überholt. Nicht verwenden.
Version obsolète. Ne pas utiliser.
Versión obsoleta. No utilizar.
Versione obsoleta. Non utilizzare.
Verouderde versie. Niet gebruiken.
Föråldrad version. Använd ej.
Παλιά έκδοση. Μην χρησιμοποιείτε.
Versão obsoleta. Não utilize.
Forældet version. Må ikke anvendes.
Zastaralá verze. Nepoužívat.
Utdatert versjon. Skal ikke brukes.
Zastaraná verzia. Nepoužívať.
Elavult verzió. Ne használja!
Wersja nieaktualna. Nie używać.

LATITUDE a RYTHMIQ sú ochranné známky spoločnosti Boston Scientific Corporation alebo jej pridružených spoločností.

Prehľad

Diaľkový systém monitorovania pacienta Boston Scientific LATITUDE generuje hlásenia Implantabilné zariadenie – srdce – observácia (IDCO) v súlade so špecifikáciami a definíciami uvádzanými v tomto dokumente. Hlásenia sú kompatibilné s profilom Integrating the Healthcare Enterprise (IHE) Patient Care Device (PCD) Technical Framework IDCO. Tieto hlásenia slúžia na prenos údajov pacienta do systému na elektronické zdravotnícke záznamy (EMR) alebo do klinického informačného systému (CIS).

Tento dokument je určený používateľom produktu Boston Scientific (BSC) LATITUDE, ktorí (1) integrujú hlásenia IDCO do systému EMR a (2) používajú systémy EMR alebo CIS na sledovanie a správu údajov pacienta. Prvá časť tohto dokumentu („Špecifikácie hlásení LATITUDE IDCO“) je primárne určená technickému personálu, ktorý bude zaisťovať integráciu hlásení. Druhá časť je primárne určená klinickým pracovníkom, vysvetľuje verziu Boston Scientific údajov v správe.

POZNÁMKA: Predpokladáme, že čitatelia tejto časti poznajú terminológiu HL7 a IDCO, syntax špecifikácií, typy údajov, štruktúry hlásení a sémantiku správ IDCO. Viac informácií nájdete na nasledujúcich stránkach:

- www.hl7.org – správy HL7
- www.ihe.net – správy IDCO
- http://ihe.net/Technical_Framework/index.cfm#pcd – PCD-09 Technical Framework (pozostáva z dielov 1, 2 a 3)
- <http://standards.ieee.org/findstds/standard/11073-10103-2012.html> – nomenklatúra IEEE IDCO

Špecifikácie hlásení LATITUDE IDCO

Hlásenie LATITUDE IDCO je hlásenie PCD-09 podľa normy IHE PCD Technical Framework Revision 2.0 zo 16. augusta 2012. Podľa technického rámca je toto hlásenie štandardným hlásením HL7 v2.6 s nevyžiadanými príkazmi a observáciami. Obsahuje observácie implantovaného zariadenia a je kódované na základe nomenklatúry IEEE 11073-10103 IDC. Tento medzinárodný štandard popisuje univerzálny model interoperability zdravotníckych elektronických údajov.

Pojmy v úvodzovkách v stĺpcoch s hodnotami uvádzané v nasledujúcich tabuľkách predstavujú pevne stanovené hodnoty, ktoré budú mať vždy zobrazený charakter. Pojmy bez úvodzoviek sú príklady alebo popisy hodnôt.

Štruktúra segmentu

Všetky údaje sa odosielaajú podľa štandardu PCD-09. Informácie v tejto časti definujú výstup BSC v hláseniach IDCO. Nie sú vyčerpávajúce a ich cieľom takisto nie je širšie definovať nomenklatúru IDCO.

Štruktúra segmentu MSH

Segment MSH obsahuje informácie o odosielateľovi a príjemcovi správy, type hlásenia, časovú známku atď. Jedná sa o prvý segment správy IDCO.

NÁZOV PRVKU	SEKV	SUBSEKV	HODNOTA
Odosielajúca aplikácia	3		„LATITUDE“
Odosielajúce pracovisko	4		„BOSTON SCIENTIFIC“
Prijímajúce pracovisko	6		Názov klinického pracoviska LATITUDE
Znakový súbor	18		„UNICODE UTF-8“

Štruktúra segmentu PID

Segment PID obsahuje informácie identifikátora pacienta ako meno, kódy ID, PSČ atď. Tieto informácie slúžia na priradenie pacientov.

NÁZOV PRVKU	SEKV	SUBSEKV	HODNOTA
ID oblasti mena	3	4	„BSX“

Štruktúra segmentu PV1

Segment PV1 (návšteva pacienta) obsahuje informácie o ošetrojúcom lekárovi pacienta.

NÁZOV PRVKU	SEKV	SUBSEKV	HODNOTA
Trieda pacienta	2		„R“

Štruktúra segmentu PV2

Segment PV2 (návšteva pacienta 2) obsahuje informácie o pacientovej skupine LATITUDE.

NÁZOV PRVKU	SEKV	SUBSEKV	HODNOTA
Názov organizácie (skupiny)	23	1	Názov skupiny LATITUDE Príklad: Kardiológia
Číslo ID (pacientova primárna alebo sekundárna skupina)		3	1 <i>Pozri poznámku 1</i>

Poznámky PV2

1. Ak je súbor HL7 asociovaný s primárnou skupinou LATITUDE, bude táto hodnota „1“. Ak je asociovaný so sekundárnou skupinou LATITUDE, bude hodnota „2“.

Štruktúra segmentu OBR

Segmenty OBR sú hlavičky časti pre individuálne segmenty interogačných informácií OBX. Obsahujú údaje ako časové známky, identifikátor správy a unikátny identifikátor vygenerovaný systémom.

NÁZOV PRVKU	SEKV	SUBSEKV	PRÍKLAD HODNOTY
Univerzálny identifikátor služieb	4		
Identifikátor		1	754053
Text		2	Pozri poznámku 1
Č. dátumu/času observácie	7		20060429080005+0000 Pozri poznámku 2
Stav výsledku	25		„F“ Pozri poznámku 3

Poznámky OBR

1. Text univerzálneho identifikátora služieb bude mať formu MDC_IDC_ENUM_SESS_TYPE_{typ relácie} (napr. MDC_IDC_ENUM_SESS_TYPE_RemoteScheduled).
2. Dátum/čas observácie bude zapísaný ako časová známka informujúca, kedy prebehla interogácia implantovaného zariadenia. Časová známka bude zodpovedať časovej zóne nastavenej pre pacienta.
3. Stav výsledku bude „F“ (finálne výsledky).

Štruktúra segmentu OBX

Segmenty OBX obsahujú údaje získané pri poslednej interogácii zariadenia.

NÁZOV PRVKU	SEKV	SUBSEKV	PRÍKLAD HODNOTY
Stav výsledku observácie	11		„F“ Pozri poznámku 1
Dátum/čas observácie	14		20060317170000+0000 Pozri poznámku 2

Poznámky OBX

1. Stav výsledku bude „F“ (finálne výsledky).
2. Dátum merania bude zahrnutý, ak sa líši od dátumu observácie v OBR.

Parametre výstupu

- Reťazce budú odosielané v jazyku nakonfigurovanom pre klinické pracovisko v systéme LATITUDE.
- Odsielané numerické hodnoty budú vždy používať ako rádivý oddeľovač bodku „.“ (tzn. desatinnú bodku).

Definície výstrah a varovaní

- Ak sa v systéme aktivuje varovanie, varovné NTE bude predchádzať jeden alebo viac varovných NTE. Jedno varovné NTE bude obsahovať jedno alebo viac varovaní NTE.
- Každá aktivovaná výstraha bude mať svoje NTE.

Správy

Prezentujúca správa EGM

Ak je prezentujúca správa EGM k dispozícii v údajovej časti z PG, bude pripojená k hláseniu vo formáte PDF a spojená s príslušnou epizódou APMRT pomocou skupinového ID (OBX-4) epizódy APMRT.

Kombinovaná kontrolná správa

Kombinovaná kontrolná správa sa k hláseniu pripája ako PDF v samostatnom OBX.

Základné pojmy

V nasledujúcej tabuľke nájdete zoznam nomenklatúrnych pojmov, ktoré môžu byť súčasťou hlásenia BSC IDCO.

REFERENČNÉ ID PREDRADÍŤ MDC_IDC_	NÁZOV OBRAZOVKY
DEV	Implantabilné srdcové zariadenie
DEV_TYPE	Typ implantabilného srdcového zariadenia
DEV_MODEL	Model implantabilného srdcového zariadenia
DEV_SERIAL	Výrobné číslo implantabilného srdcového zariadenia
DEV_MFG	Výrobca implantabilného srdcového zariadenia
DEV_IMPLANT_DT	Dátum implantácie implantabilného srdcového zariadenia
LEAD	Vlastnosti implantabilnej elektródy
LEAD_MODEL	Model implantabilnej elektródy
LEAD_SERIAL	Výrobné číslo implantabilnej elektródy
LEAD_MFG	Výrobca implantabilnej elektródy
LEAD_IMPLANT_DT	Dátum implantácie implantabilnej elektródy
LEAD_POLARITY_TYPE	Typ polarity implantabilnej elektródy
LEAD_LOCATION	Poloha implantabilnej elektródy
LEAD_LOCATION_DETAIL_1	Detail 1 Poloha implantabilnej elektródy
SESS	Interogačná relácia
SESS_DTM	Dátum a čas interogačnej relácie
SESS_TYPE	Typ interogačnej relácie
SESS_CLINIC_NAME	Názov klinického pracoviska
MSMT	Merania
MSMT_BATTERY	Merania batérie
MSMT_BATTERY_DTM	Dátum a čas meraní batérie
MSMT_BATTERY_STATUS	Stav batérie
MSMT_BATTERY_REMAINING_LONGEVITY	Zostávajúca životnosť batérie
MSMT_BATTERY_REMAINING_PERCENTAGE	Zostávajúca percentuálna časť energie batérie
MSMT_CAP	Merania kondenzátora
MSMT_CAP_CHARGE_DTM	Dátum a čas posledného nabitia kondenzátora
MSMT_CAP_CHARGE_TIME	Čas nabitia kondenzátora
MSMT_CAP_CHARGE_TYPE	Typ nabitia kondenzátora
MSMT_LEADCHNL_[CHAMBER]	Merania kanálu elektródy
MSMT_LEADCHNL_[CHAMBER]_DTM_[STRTEND]	Dátum a čas meraní kanálu elektródy
MSMT_LEADCHNL_[CHAMBER]_LEAD_CHANNEL_STATUS	Stav kanálu elektródy

REFERENČNÉ ID PREDRADIT' MDC_IDC_	NÁZOV OBRAZOVKY
MSMT_LEADCHNL_[CHAMBER]_SENSING	Merania snímania kanálu elektródy
MSMT_LEADCHNL_[CHAMBER]_SENSING_INTR_AMPL_[MMM]	Vlastná amplitúda snímania kanálu elektródy
MSMT_LEADCHNL_[CHAMBER]_SENSING_POLARITY	Polarita snímania kanálu elektródy
MSMT_LEADCHNL_[CHAMBER]_PACING_THRESHOLD	Merania stimulačného prahu kanálu elektródy
MSMT_LEADCHNL_[CHAMBER]_PACING_THRESHOLD_AMPLITUDE	Amplitúda stimulačného prahu kanálu elektródy
MSMT_LEADCHNL_[CHAMBER]_PACING_THRESHOLD_PULSEWIDTH	Šírka impulzu stimulačného prahu kanálu elektródy
MSMT_LEADCHNL_[CHAMBER]_PACING_THRESHOLD_MEASUREMENT_METHOD	Metóda merania stimulačného prahu kanálu elektródy
MSMT_LEADCHNL_[CHAMBER]_PACING_THRESHOLD_POLARITY	Polarita stimulačného prahu kanálu elektródy
MSMT_LEADCHNL_[CHAMBER]_IMPEDANCE	Merania impedancie kanálu elektródy
MSMT_LEADCHNL_[CHAMBER]_IMPEDANCE_VALUE	Hodnota impedancie kanálu elektródy
MSMT_LEADCHNL_[CHAMBER]_IMPEDANCE_POLARITY	Polarita impedancie kanálu elektródy
MSMT_LEADHVCHNL	Merania vysokonapäťového kanálu elektródy
MSMT_LEADHVCHNL_DTM_[STRTEND]	Dátum a čas vysokonapäťového kanálu elektródy
MSMT_LEADHVCHNL_IMPEDANCE	Impedancia vysokonapäťového kanálu elektródy
MSMT_LEADHVCHNL_MEASUREMENT_TYPE	Typ merania vysokonapäťového kanálu elektródy
MSMT_LEADHVCHNL_STATUS	Stav vysokonapäťového kanálu elektródy
SET	Nastavenia
SET_CRT	Nastavenia CRT
SET_CRT_LVRV_DELAY	Omeškanie CRT LV (LK) - RV (PK)
SET_CRT_PACED_CHAMBERS	Komory stimulované v priebehu stimulácie CRT
SET_LEADCHNL_[CHAMBER]	Nastavenia kanálu elektródy
SET_LEADCHNL_[CHAMBER]_SENSING	Snímanie nastavenia kanálu elektródy
SET_LEADCHNL_[CHAMBER]_SENSING_SENSITIVITY	Citlivosť snímania nastavenia kanálu elektródy
SET_LEADCHNL_[CHAMBER]_SENSING_POLARITY	Polarita snímania nastavenia kanálu elektródy
SET_LEADCHNL_[CHAMBER]_SENSING_ANODE_LOCATION_[1..3]	Poloha anódy snímania nastavenia kanálu elektródy
SET_LEADCHNL_[CHAMBER]_SENSING_ANODE_ELECTRODE_[1..3]	Anódová koncovka snímania nastavenia kanálu elektródy
SET_LEADCHNL_[CHAMBER]_SENSING_CATHODE_LOCATION_[1..3]	Poloha katódy snímania nastavenia kanálu elektródy

REFERENČNÉ ID PREDRADÍŤ MDC_IDC_	NÁZOV OBRAZOVKY
SET_LEADCHNL_[CHAMBER]_SENSING_CATHODE_ELECTRODE_[1..3]	Katódová koncovka snímania nastavenia kanálu elektródy
SET_LEADCHNL_[CHAMBER]_SENSING_ADAPTATION_MODE	Režim adaptácie snímania nastavenia kanálu elektródy
SET_LEADCHNL_[CHAMBER]_PACING	Stimulácia nastavenia kanálu elektródy
SET_LEADCHNL_[CHAMBER]_PACING_AMPLITUDE	Amplitúda stimulácie nastavenia kanálu elektródy
SET_LEADCHNL_[CHAMBER]_PACING_PULSEWIDTH	Šírka impulzu stimulácie nastavenia kanálu elektródy
SET_LEADCHNL_[CHAMBER]_PACING_POLARITY	Polarita stimulácie nastavenia kanálu elektródy
SET_LEADCHNL_[CHAMBER]_PACING_ANODE_LOCATION_[1..3]	Poloha anódy stimulácie nastavenia kanálu elektródy
SET_LEADCHNL_[CHAMBER]_PACING_ANODE_ELECTRODE_[1..3]	Anódová koncovka stimulácie nastavenia kanálu elektródy
SET_LEADCHNL_[CHAMBER]_PACING_CATHODE_LOCATION_[1..3]	Poloha katódy stimulácie nastavenia kanálu elektródy
SET_LEADCHNL_[CHAMBER]_PACING_CATHODE_ELECTRODE_[1..3]	Katódová koncovka stimulácie nastavenia kanálu elektródy
SET_LEADCHNL_[CHAMBER]_PACING_CAPTURE_MODE	Režim zachytenia stimulácie nastavenia kanálu elektródy
SET_BRADY	Nastavenia Brady
SET_BRADY_MODE	Režim nastavenia Brady (kód NBG)
SET_BRADY_LOWRATE	Spodný limit frekvencie nastavenia Brady
SET_BRADY_SENSOR_TYPE	Typ senzora nastavenia Brady
SET_BRADY_MAX_TRACKING_RATE	Maximálna sledovacia frekvencia nastavenia Brady
SET_BRADY_MAX_SENSOR_RATE	Maximálna frekvencia senzora nastavenia Brady
SET_BRADY_SAV_DELAY_[HIGHLOW]	Omeškanie SAV nastavenia Brady
SET_BRADY_PAV_DELAY_[HIGHLOW]	Omeškanie PAV nastavenia Brady
SET_BRADY_AT_MODE_SWITCH_MODE	Režim prepnutia režimu AT nastavenia Brady
SET_BRADY_AT_MODE_SWITCH_RATE	Frekvencia prepnutia režimu AT nastavenia Brady
SET_TACHYTHERAPY	Nastavenia liečby Tachy
SET_TACHYTHERAPY_VSTAT	Komorový stav nastavenia liečby Tachy
SET_ZONE	Nastavenia zóny
SET_ZONE_TYPE	Kategória typu nastavenia zóny
SET_ZONE_VENDOR_TYPE	Kategória typu predajcu nastavenia zóny
SET_ZONE_STATUS	Stav nastavenia zóny
SET_ZONE_DETECTION_INTERVAL	Interval detekcie nastavenia zóny

REFERENČNÉ ID PREDRADIT' MDC_IDC_	NÁZOV OBRAZOVKY
SET_ZONE_TYPE_ATP_[1..10]	Typ ATP nastavenia zóny
SET_ZONE_NUM_ATP_SEQS_[1..10]	Počet nastavení zóny sekvencií ATP
SET_ZONE_SHOCK_ENERGY_[1..10]	Energia výboja nastavenia zóny
SET_ZONE_NUM_SHOCKS_[1..10]	Počet nastavení zóny výbojov
STAT	Štatistika
STAT_DTM_[STRTEEND]	Dátum a čas štatistiky
STAT_BRADY	Štatistika Brady
STAT_BRADY_DTM_[STRTEEND]	Dátum a čas štatistiky Brady
STAT_BRADY_RA_PERCENT_PACED	Percento stimulácie RA (PP) štatistiky Brady
STAT_BRADY_RV_PERCENT_PACED	Percento stimulácie RV štatistiky Brady
STAT_CRT	Štatistika CRT
STAT_CRT_DTM_[STRTEEND]	Dátum a čas štatistiky CRT
STAT_CRT_LV_PERCENT_PACED	Percento stimulácie LV (LK) štatistiky CRT
STAT_EPISODE	Štatistika epizódy
STAT_EPISODE_TYPE	Kategória typu štatistiky epizódy
STAT_EPISODE_TYPE_INDUCED	Indukovaný typ štatistiky epizódy
STAT_EPISODE_VENDOR_TYPE	Kategória typu predajcu štatistiky epizódy
STAT_EPISODE_RECENT_COUNT	Nedávny počet štatistiky epizódy
STAT_EPISODE_RECENT_COUNT_DTM_[STRTEEND]	Nedávny dátum a čas štatistiky epizódy
EPISODE	Epizóda
EPISODE_ID	Identifikátor epizódy
EPISODE_DTM	Dátum a čas epizódy
EPISODE_TYPE	Kategória typu epizódy
EPISODE_TYPE_INDUCED	Indukovaná vlajka štatistiky epizódy
EPISODE_VENDOR_TYPE	Kategória typu predajcu epizódy
EPISODE_ATRIAL_INTERVAL_AT_DETECTION	Predsieňový interval detekcie epizódy
EPISODE_VENTRICULAR_INTERVAL_AT_DETECTION	Komorový interval detekcie epizódy
EPISODE_DETECTION_THERAPY_DETAILS	Detekcia epizódy a detaily liečby
EPISODE_DURATION	Trvanie epizódy

Konverzia údajov implantovaného zariadenia do hlásení IDCO

Stav batérie

Vymenovania parametrov batérie sa do stavu batérie BSC prenášajú nasledujúcim spôsobom:

STAV BATÉRIE BSC	STAV BATÉRIE IDCO
BOL	BOS
OY	MOS
ERI	RRT
EOL	EOS

Keď vstúpi implantované zariadenie do obmedzenej telemetrie, jeho stav batérie môže byť ERI alebo EOL. Oba stavy batérie povedú k rovnakému hláseniu: ENUM_BATTERY_STATUS_RRT (ERI) v stave MSMT_BATTERY_STATUS s časovou známkou ERI v MSMT_BATTERY_DTM. Tento stav sa týka výhradne obmedzenej telemetrie.

SET_BRADY_SENSOR_TYPE

Typ senzora bude odoslaný podľa nasledujúcej tabuľky.

HODNOTA ODOSLANÁ K PREMENNEJ SET_BRADY_SENSOR_TYPE NA ZÁKLADÉ NASTAVENIA IMPLANTOVANÉHO ZARIADENIA	NASTAVENIE IMPLANTOVANÉHO ZARIADENIA
„Accelerometer“ (Akcelerometer)	Iba akcelerometer
„Minute Ventilation“ (Minútová ventilácia)	Iba MV
„Accelerometer + MV“ (Akcelerometer + MV)	Akcelerometer a MV

Vyššie uvedené hodnoty budú odoslané iba za predpokladu, že senzor môže riadiť frekvenciu (tzn. neodoslú sa, ak je senzor v stave Iba monitorovanie).

Vyššie uvedené hodnoty budú odoslané, ak je možné frekvenciu riadiť v normálnom režime Brady alebo v ATR (tzn. hodnota neodráža iba normálny režim Brady).

Nezabúdajte, že parameter „ATR Only“ (Len ATR) sa môže v správach nachádzať, keď je režim ATR v režime s frekvenčnou adaptáciou a normálny režim Brady frekvenčnú adaptáciu nepoužíva. V tomto prípade bude text (napr. „Accelerometer“ (Akcelerometer)) aj tak odoslaný v režime ATR. Používateľ môže zhodnotiť režim Brady a režim ATR a určiť, že frekvenčná adaptácia prebieha iba u ATR.

Mapovanie epizódy

Epizódy, počítadlá atď. budú odosielané vo vzťahu k informáciám v interogácii. Rovnaké informácie budú odoslané na začiatku a v nasledujúcom opakovanom odoslaní, aj keď medzi tým prebehli interogácie. Nezapúdajte, že výstup EMR nebude vždy zodpovedať informáciám zobrazeným v správe Quick Notes, keďže Quick Notes zobrazujú epizódy, výstrahy a počítadlá od posledného resetovania. Epizódy sú reprezentované kombináciou normatívnych typov a typov špecifických pre predajcu. Niektoré typy epizód Boston Scientific nie je možné v súčasnej nomenklatúre IDCO unikátne označiť.

ID EPIZÓDY BSC	TYP EPIZÓDY BSC	NORMATÍVNY TYP EPIZÓDY IDCO	TYP EPIZÓDY IDCO ŠPECIFICKÝ PRE PREDAJCU
V-x	VF	VF	BSX-Zone_VF
V-x	VT	VT	BSX-Epis_VT
V-x	VT (V>A)	VT	BSX-Epis_VT
V-x	Tachy	Ak je elektróda v zariadeniach SSI v: <ul style="list-style-type: none"> • V – VT • A – AT/AF • Nešpecifikované – VT 	Prázdne
V-x	NonSust	Ak je elektróda v zariadeniach SSI v: <ul style="list-style-type: none"> • V – VT • A – AT/AF • Nešpecifikované – VT 	ak A, prázdne ináč BSX-Epis_NSVT
V-x	SVT (V≤A)	SVT	BSX-Zone_SVT
V-x	VT-1	VT	BSX-Epis_VT-1
RMS-x	RMS	Iná	BSX-Epis_RMS
RYTHMIQ-x	RYTHMIQ	Iná	BSX-Epis_RMS
ATR-x	ATR	ATAF	BSX-Epis_ATR
PMT-x	PMT	Iná	BSX-Epis_PMT
SBR-x	SBR	Iná	Žiadna
PTM-x	PTM	Aktivovaná pacientom	BSX-Epis_PTM
V-x	Cmd V (Príkáz. V)	Iná	Žiadna
V-x	NonSustV	VT	BSX-Epis_NSVT
APMRT-x	APM RT	Periodické EGM	BSX-Epis_APMRT
RVAT-x	RV (PK) Auto	Iná	Žiadna
RAAT-x	RA (PP) Auto	Iná	Žiadna
LVAT-x	LV (LK) Auto	Iná	Žiadna
MRI-x	MRI	Iná	Žiadna

Mapovanie počítadiel

Niektoré počítadlá sa pred odoslaním do hlásenia sčítavajú. Príčinou je fakt, že všetky počítadlá Boston Scientific nie je v súčasnosti možné vyjadriť v nomenklatúre IDCO: Odosielané hodnoty počítadiel informujú o stave od posledného resetovania.

POČÍTADLO EPIZÓD BSC	ŠTATISTICKÝ NORMATÍVNY TYP EPIZÓDY IDCO	ŠTATISTICKÝ TYP EPIZÓDY IDCO ŠPECIFICKÝ PRE PREDAJCU
VT (V>A)	VT	BSX-Epis_VT
Tachy	VT	BSX-Epis_VT
NonSust	VT	BSX-Epis_NSVT
NonSustV	VT	BSX-Epis_NSVT
SVT (V≤A)	SVT	BSX-Epis_SVT
ATR	AT/AF	BSX-Epis_ATR
MRI	Iná	Žiadna
VF	VF	BSX-Epis_VF
VT	VT	BSX-Epis_VT
VT-1	VT	BSX-Epis_VT-1
Cmd	Iná	Žiadna
No Therapy Programmed (Nenaprogramovaná žiadna liečba)	Monitor	Žiadna
Other Untreated (Iná neliečená)	Iná	Žiadna
RMS	Iná	BSX-Epis_RMS
RYTHMIQ	Iná	BSX-Epis_RMS
PMT	Iná	BSX-Epis_PMT
SBR	Iná	Žiadna
PTM	Aktivovaná pacientom	BSX-Epis_PTM
APM RT	Periodické EGM	BSX-Epis_APMRT
RA (PP) Auto	Iná	Žiadna
RV (PK) Auto	Iná	Žiadna
LV (L'K) Auto	Iná	Žiadna

Mapovanie konfigurácie elektródy

V nasledujúcej tabuľke je popísaná definícia elektród s viacerými pólmi v štandardoch IDCO a BSC. Táto tabuľka nepredstavuje vyčerpávajúci zoznam, iba vymenováva informácie, ktoré nemusia byť zjavné.

Definície používané spoločnosťou BSC sú navrhnuté, aby odpovedali programátoru/nahrávaciemu zariadeniu/monitoru (PRM) a internetovej stránke LATITUDE.

NÁZOV ELEKTRODY BSC	POLOHA ELEKTRODY IDCO	NÁZOV ELEKTRODY IDCO
Zariadenie	Iná	Zariadenie
LVTip1	LV (L'K)	Špička
LVRing2	LV (L'K)	Ring1
LVRing3	LV (L'K)	Ring2
LVRing4	LV (L'K)	Ring3

Parameter MDC_IDC_ENUM_ELECTRODE_LOCATION (poloha stimulačnej/snímacej anódy/katódy) v súčasnosti vo vymenovaní nezahŕňa kapsu (tzn. zariadenie). Poloha bude odoslaná ako „iná“ a pól elektródy ako „zariadenie“.

Stav „skontrolujte elektródu“ informuje o možnom probléme s elektródou. Ak však tento stav aktívny nie je, elektróda ešte nemusí fungovať správne. Systém odosiela stav „skontrolujte elektródu“, ak sa aktivuje ktorýkoľvek z nasledujúcich stavových indikátorov:

- Bezpečnostný spínač elektródy
- Impedancia mimo rozsah
- Amplitúda mimo rozsah
- Nízka impedancia výboja
- Vysoká impedancia výboja
- Vysoké napätie pri nabíjaní

Pri MSMT_LEADCHNL_[CHAMBER] (tzn. meranie kanálu elektródy ako vlastná amplitúda, impedancia elektródy, stimulačný prah) je podľa aktuálnej nomenklatúry IDCO u všetkých meraní možné len jedno rozmedzie časovej známky (tzn. každé meranie nemá svoje vlastné rozmedzie). Ak sa časy merania líšia, systém odošle rozmedzie časovej známky (tzn. MIN, MAX) zahŕňajúce časy všetkých meraní. Odosielané hodnoty budú zodpovedať hodnote IDCO MEAN podľa nomenklatúry IDCO. Hodnoty sú však samostatnými meraniami, nejedná sa o priemerné hodnoty za rozmedzie časovej známky.

Obmedzenia systému

- Výstup špecifický pre Tachy a pre komory má maximálnu možnú presnosť. V niektorých prípadoch však dôležitosť odosielania údajov a skutočnosť, že štandard IDCO nie je schopný uvádzať niektoré parametre, vedú k odoslaniu údajov. Napríklad: informácie zóny VT sa odosielajú, ako keby zariadenia Brady mali zónu VT.
- U zariadení bez automatického stimulačného prahu (funkcia Autothreshold) sa odosiela posledné meranie prahu v ambulancii.
- Správne nahlasovanie údajov z implantovaného zariadenia a oznamovanie výstrah systémom LATITUDE NXT závisí od toho, či sú hodiny implantovaného zariadenia správne nastavené pomocou Programátora/nahrávacieho zariadenia/monitora (PRM). Správne nahlasovanie môže byť po správnom naprogramovaní hodín implantovaného zariadenia na určitý čas naďalej ovplyvnené v závislosti od množstva údajov prijatých s nesprávnou informáciou o čase a časovej odchýlky hodín implantovaného zariadenia.
- Režazce budú odosielané v jazyku nakonfigurovanom pre klinické pracovisko v systéme LATITUDE.

Definície výstrah a varovaní

Varovné a výstražné hlásenia sú do hlásenia zaradené ako poznámky, ktoré sa na EMR zobrazit' môžu ale nemusia. Varovanie alebo výstraha budú súčasťou hlásenia, ak údaje načítané z PG viedli k spusteniu tohto varovania alebo výstrahy.

Správy

Prezentujúca správa EGM

Ak je prezentujúca správa EGM k dispozícii v údajovej časti z PG, bude pripojená k hláseniu vo formáte PDF a spojená s príslušnou epizódou APMRT pomocou skupinového ID (OBX-4) epizódy APMRT.

Kombinovaná kontrolná správa

Kombinovaná kontrolná správa sa k hláseniu pripája ako PDF.

Outdated version. Do not use.
Version überholt. Nicht verwenden.
Version obsolète. Ne pas utiliser.
Versión obsoleta. No utilizar.
Versione obsoleta. Non utilizzate.
Verouderde versie. Niet gebruiken.
Föråldrad version. Använd ej.
Παλιά έκδοση. Μην την χρησιμοποιείτε.
Versão obsoleta. Não utilize.
Forældet version. Må ikke anvendes.
Zastaralá verze. Nepoužívat.
Utdatert versjon. Skal ikke brukes.
Zastaraná verzia. Nepoužívať.
Elavult verzió. Ne használja!
Wersja nieaktualna. Nie używać.

Príklad súboru IDCO

Nasledujúci príklad súboru IDCO ukazuje, ako by mohlo vyzerať hlásenie LATITUDE IDCO. Je to iba príklad, možných výsledkov je veľa. Údaje v tomto ukážkovom hlásení sú hypotetické. Neobsahuje všetky pojmy LATITUDE IDCO.

```
MSH|^~\&|LATITUDE|BOSTON SCIENTIFIC||TestClinic|201305092136+0000||ORU^R01^ORU_R01
|0|P|2.6|||UNICODE UTF-8|en^English||IHE_PCD_009^IHE PCD
^1.3.6.1.4.1.19376.1.6.1.9.1^ISO
PID|1||model:N119/serial:900141^^^BSX^U||testLastName^testName^^^^^I
~testAuxLName^testAuxFName^^^^^P||19680215|U
PV1|1|R
PV2|||||TestDeviceGroup^^1
OBR|1||1000000916|754054^MDC_IDC_ENUM_SESS_TYPE_RemotePatientInitiated
^MDC|||201001151330-0500|||||F
NTE|1||Feb 02, 2012 00:00 - Yellow Alert - Atrial Arrhythmia Burden of at least 3.0 hours
in a 24 hour period.
NTE|2||Feb 02, 2012 00:00 - Yellow Alert - Atrial Arrhythmia Burden of at least 3.0 hours
in a 24 hour period between Jan 11, 2010 23:00 and Jan 12, 2010 00:00.
NTE|3||Feb 02, 2012 00:00 - Yellow Alert - Cardiac Resynchronization Therapy pacing of
< 1%. Pacing was 2% between Jan 11, 2010 23:00 and Jan 12, 2010 00:00.
NTE|4||Feb 02, 2012 00:00 - Yellow Alert - Right ventricular pacing of > 1%. Pacing was
2% between Jan 11, 2010 23:00 and Jan 12, 2010 00:00.
NTE|5||Feb 02, 2012 00:00 - Yellow Alert - Patient triggered event stored.
NTE|6||Feb 02, 2012 00:00 - Yellow Alert - Weight gain of at least 5 lb. in a week or at
least 2 lb. average over a two or more day period.
NTE|7||Feb 02, 2012 00:00 - Yellow Alert - Weight loss of at least 5 lb. in a week or at
least 2 lb. average over a two or more day period.
NTE|8||Feb 02, 2012 00:00 - Yellow Alert - Explant indicator reached on Jan 12, 2010
00:00. Schedule replacement of this device.
NTE|9||Feb 02, 2012 00:00 - Yellow Alert - Voltage was too low for projected remaining
capacity.
NTE|10||Feb 02, 2012 00:00 - Red Alert - Remote monitoring disabled on Jan 12, 2010 00:00
due to limited battery capacity (Explant indicator reached on Feb 12, 2010 00:00).
NTE|11||Feb 02, 2012 00:00 - Yellow Alert - Therapy history corruption detected.
Previously stored therapy history data has been deleted.
NTE|12||Feb 02, 2012 00:00 - Red Alert - Possible device malfunction (Fault Code 1011).
NTE|13||Feb 02, 2012 00:00 - Red Alert - Possible device malfunction (Fault Code 1007).
NTE|14||Feb 02, 2012 00:00 - Red Alert - Possible device malfunction (Fault Code 1009).
NTE|15||Feb 02, 2012 00:00 - Red Alert - Device is in Safety Mode. For patient protection
the device has been switched to Safety Mode.
NTE|16||Feb 02, 2012 00:00 - Yellow Alert - Right ventricular automatic threshold
detected as > programmed amplitude or suspended.
NTE|17||Feb 02, 2012 00:00 - Yellow Alert - Atrial automatic threshold detected as >
programmed amplitude or suspended.
NTE|18||Feb 02, 2012 00:00 - Red Alert - Shock lead impedance out of range.
NTE|19||Feb 02, 2012 00:00 - Red Alert - Low shock lead impedance detected when attempting
to deliver a shock.
NTE|20||Feb 02, 2012 00:00 - Red Alert - High shock lead impedance detected when
attempting to deliver a shock.
NTE|21||Feb 02, 2012 00:00 - Red Alert - High voltage detected on shock lead during
charge.
NTE|22||Feb 02, 2012 00:00 - Red Alert - Electrocautery Protection is active.
NTE|23||Feb 02, 2012 00:00 - Yellow Alert - VT Episode occurred (V>A).
NTE|24||Feb 02, 2012 00:00 - Yellow Alert - Device Brady Mode is Off. Brady therapy will
not be delivered.
NTE|25||Feb 02, 2012 00:00 - Yellow Alert - Left ventricular pacing lead impedance out
of range.
NTE|26||Feb 02, 2012 00:00 - Yellow Alert - Atrial pacing lead impedance out of range.
NTE|27||Feb 02, 2012 00:00 - Yellow Alert - Right ventricular intrinsic amplitude out of
range.
NTE|28||Feb 02, 2012 00:00 - Yellow Alert - Intrinsic amplitude out of range.
NTE|29||Feb 02, 2012 00:00 - Yellow Alert - Left ventricular intrinsic amplitude out of
range.
NTE|30||Feb 02, 2012 00:00 - Yellow Alert - Atrial intrinsic amplitude out of range.
```

NTE|31||Feb 02, 2012 00:00 - Red Alert - Right ventricular pacing lead impedance out of range.

NTE|32||Feb 02, 2012 00:00 - Red Alert - Pacing lead impedance out of range.

NTE|33||Feb 02, 2012 00:00 - Yellow Alert - Ventricular shock therapy delivered to convert arrhythmia.

NTE|34||Feb 02, 2012 00:00 - Yellow Alert - Accelerated ventricular arrhythmia episode.

NTE|35||Feb 02, 2012 00:00 - Red Alert - V-Tachy mode set to value other than Monitor + Therapy.

NTE|36||Feb 02, 2012 00:00 - Red Alert - Lead Check notification due to abrupt change in right ventricular pacing lead impedance in the past 7 days.

NTE|37||Feb 02, 2012 00:00 - Red Alert - Lead Check notification due to episode with potential right ventricular non-physiologic signal.

NTE|38||Feb 02, 2012 00:00 - Yellow Alert - Left ventricular automatic threshold detected as > programmed amplitude or suspended.

OBX|1|ST|739536^MDC_IDC_EPISODE_ID^MDC|1|MRI-16|||||F

OBX|2|DTM|739552^MDC_IDC_EPISODE_DTM^MDC|1|200101020304|||||F

OBX|3|CWE|739568^MDC_IDC_EPISODE_TYPE^MDC|1|754888
^MDC_IDC_ENUM_EPISODE_TYPE_Epis_Other^MDC|||||F

OBX|4|CWE|739600^MDC_IDC_EPISODE_VENDOR_TYPE^MDC|1|||||F

OBX|5|NM|739712^MDC_IDC_EPISODE_DURATION^MDC|1|100|s|||||F

OBX|6|ST|739680^MDC_IDC_EPISODE_DETECTION_THERAPY_DETAILS
^MDC|1|MRI Protection Mode|||||F

OBX|7|ST|739536^MDC_IDC_EPISODE_ID^MDC|2|LVAT-15|||||F

OBX|8|DTM|739552^MDC_IDC_EPISODE_DTM^MDC|2|200101020304|||||F

OBX|9|CWE|739568^MDC_IDC_EPISODE_TYPE^MDC|2|754888
^MDC_IDC_ENUM_EPISODE_TYPE_Epis_Other^MDC|||||F

OBX|10|CWE|739600^MDC_IDC_EPISODE_VENDOR_TYPE^MDC|2|||||F

OBX|11|NM|739712^MDC_IDC_EPISODE_DURATION^MDC|2|100|s|||||F

OBX|12|ST|739680^MDC_IDC_EPISODE_DETECTION_THERAPY_DETAILS^MDC|2|LV Auto|||||F

OBX|13|ST|739536^MDC_IDC_EPISODE_ID^MDC|3|RVAT-14|||||F

OBX|14|DTM|739552^MDC_IDC_EPISODE_DTM^MDC|3|200101020304|||||F

OBX|15|CWE|739568^MDC_IDC_EPISODE_TYPE^MDC|3|754888
^MDC_IDC_ENUM_EPISODE_TYPE_Epis_Other^MDC|||||F

OBX|16|CWE|739600^MDC_IDC_EPISODE_VENDOR_TYPE^MDC|3|||||F

OBX|17|NM|739712^MDC_IDC_EPISODE_DURATION^MDC|3|100|s|||||F

OBX|18|ST|739680^MDC_IDC_EPISODE_DETECTION_THERAPY_DETAILS^MDC|3|RV Auto|||||F

OBX|19|ST|739536^MDC_IDC_EPISODE_ID^MDC|4|APM-13|||||F

OBX|20|DTM|739552^MDC_IDC_EPISODE_DTM^MDC|4|200101020304|||||F

OBX|21|CWE|739568^MDC_IDC_EPISODE_TYPE^MDC|4|754888
^MDC_IDC_ENUM_EPISODE_TYPE_Epis_PeriodicEGM^MDC|||||F

OBX|22|CWE|739600^MDC_IDC_EPISODE_VENDOR_TYPE^MDC|4|771085
^MDC_IDC_ENUM_EPISODE_VENDOR_TYPE_BSX-Epis_APMRT^MDC|||||F

OBX|23|ST|739680^MDC_IDC_EPISODE_DETECTION_THERAPY_DETAILS^MDC|4|Presenting EGM|||||F

OBX|24|ST|739536^MDC_IDC_EPISODE_ID^MDC|5|PTM-12|||||F

OBX|25|DTM|739552^MDC_IDC_EPISODE_DTM^MDC|5|200101020304|||||F

OBX|26|CWE|739568^MDC_IDC_EPISODE_TYPE^MDC|5|754887
^MDC_IDC_ENUM_EPISODE_TYPE_Epis_PatientActivated^MDC|||||F

OBX|27|CWE|739600^MDC_IDC_EPISODE_VENDOR_TYPE^MDC|5|771080
^MDC_IDC_ENUM_EPISODE_VENDOR_TYPE_BSX-Epis_PTM^MDC|||||F

OBX|28|NM|739648^MDC_IDC_EPISODE_VENTRICULAR_INTERVAL_AT_DETECTION
^MDC|5|30000|ms|||||F

OBX|29|NM|739712^MDC_IDC_EPISODE_DURATION^MDC|5|100|s|||||F

OBX|30|ST|739680^MDC_IDC_EPISODE_DETECTION_THERAPY_DETAILS^MDC|5|PTM|||||F

OBX|31|ST|739536^MDC_IDC_EPISODE_ID^MDC|6|RAAT-11|||||F

OBX|32|DTM|739552^MDC_IDC_EPISODE_DTM^MDC|6|200101020304|||||F

OBX|33|CWE|739568^MDC_IDC_EPISODE_TYPE^MDC|6|754888
^MDC_IDC_ENUM_EPISODE_TYPE_Epis_Other^MDC|||||F

OBX|34|CWE|739600^MDC_IDC_EPISODE_VENDOR_TYPE^MDC|6|||||F

OBX|35|NM|739712^MDC_IDC_EPISODE_DURATION^MDC|6|100|s|||||F

OBX|36|ST|739680^MDC_IDC_EPISODE_DETECTION_THERAPY_DETAILS^MDC|6|RA Auto|||||F

OBX|37|ST|739536^MDC_IDC_EPISODE_ID^MDC|7|RYTHMIQ-10|||||F

OBX|38|DTM|739552^MDC_IDC_EPISODE_DTM^MDC|7|200101020304|||||F

OBX|39|CWE|739568^MDC_IDC_EPISODE_TYPE^MDC|7|754888
^MDC_IDC_ENUM_EPISODE_TYPE_Epis_Other^MDC|||||F

OBX|40|CWE|739600^MDC_IDC_EPISODE_VENDOR_TYPE^MDC|7|771084
 ^MDC_IDC_ENUM_EPISODE_VENDOR_TYPE_BSX-Epis_RMS^MDC|||||F
 OBX|41|NM|739648
 ^MDC_IDC_EPISODE_VENTRICULAR_INTERVAL_AT_DETECTION^MDC|7|30000|ms|||||F
 OBX|42|NM|739712^MDC_IDC_EPISODE_DURATION^MDC|7|100|s|||||F
 OBX|43|ST|739680^MDC_IDC_EPISODE_DETECTION_THERAPY_DETAILS^MDC|7|RYTHMIQ|||||F
 OBX|44|ST|739536^MDC_IDC_EPISODE_ID^MDC|8|RMS-9|||||F
 OBX|45|DTM|739552^MDC_IDC_EPISODE_DTM^MDC|8|200101020304|||||F
 OBX|46|CWE|739568^MDC_IDC_EPISODE_TYPE
 ^MDC|8|754888^MDC_IDC_ENUM_EPISODE_TYPE_Epis_Other^MDC|||||F
 OBX|47|CWE|739600^MDC_IDC_EPISODE_VENDOR_TYPE^MDC|8|771084
 ^MDC_IDC_ENUM_EPISODE_VENDOR_TYPE_BSX-Epis_RMS^MDC|||||F
 OBX|48|NM|739648
 ^MDC_IDC_EPISODE_VENTRICULAR_INTERVAL_AT_DETECTION^MDC|8|30000|ms|||||F
 OBX|49|NM|739712^MDC_IDC_EPISODE_DURATION^MDC|8|100|s|||||F
 OBX|50|ST|739680^MDC_IDC_EPISODE_DETECTION_THERAPY_DETAILS^MDC|8|RMS|||||F
 OBX|51|ST|739536^MDC_IDC_EPISODE_ID^MDC|9|V-8|||||F
 OBX|52|DTM|739552^MDC_IDC_EPISODE_DTM^MDC|9|200101020304|||||F
 OBX|53|CWE|739568^MDC_IDC_EPISODE_TYPE
 ^MDC|9|754881^MDC_IDC_ENUM_EPISODE_TYPE_Epis_VF^MDC|||||F
 OBX|54|CWE|739600^MDC_IDC_EPISODE_VENDOR_TYPE
 ^MDC|9|771073^MDC_IDC_ENUM_EPISODE_VENDOR_TYPE_BSX-Epis_VF^MDC|||||F
 OBX|55|CWE|739584^MDC_IDC_EPISODE_TYPE_INDUCED^MDC|9|755329
 ^MDC_IDC_ENUM_EPISODE_TYPE_INDUCED_YES^MDC|||||F
 OBX|56|NM|739648
 ^MDC_IDC_EPISODE_VENTRICULAR_INTERVAL_AT_DETECTION^MDC|9|30000|ms|||||F
 OBX|57|NM|739712^MDC_IDC_EPISODE_DURATION^MDC|9|100|s|||||F
 OBX|58|ST|739680
 ^MDC_IDC_EPISODE_DETECTION_THERAPY_DETAILS^MDC|9|VF ATPx1, 0.1J, 0.2J, 31Jx2|||||F
 OBX|59|ST|739536^MDC_IDC_EPISODE_ID^MDC|10|PMT-7|||||F
 OBX|60|DTM|739552^MDC_IDC_EPISODE_DTM^MDC|10|200101020304|||||F
 OBX|61|CWE|739568^MDC_IDC_EPISODE_TYPE^MDC|10|754888
 ^MDC_IDC_ENUM_EPISODE_TYPE_Epis_Other^MDC|||||F
 OBX|62|CWE|739600^MDC_IDC_EPISODE_VENDOR_TYPE^MDC|10|771079
 ^MDC_IDC_ENUM_EPISODE_VENDOR_TYPE_BSX-Epis_PMT^MDC|||||F
 OBX|63|NM|739648^MDC_IDC_EPISODE_VENTRICULAR_INTERVAL_AT_DETECTION
 ^MDC|10|30000|ms|||||F
 OBX|64|NM|739712^MDC_IDC_EPISODE_DURATION^MDC|10|100|s|||||F
 OBX|65|ST|739680^MDC_IDC_EPISODE_DETECTION_THERAPY_DETAILS^MDC|10|PMT|||||F
 OBX|66|ST|739536^MDC_IDC_EPISODE_ID^MDC|11|V-6|||||F
 OBX|67|DTM|739552^MDC_IDC_EPISODE_DTM^MDC|11|200101020304|||||F
 OBX|68|CWE|739568^MDC_IDC_EPISODE_TYPE^MDC|11|754882
 ^MDC_IDC_ENUM_EPISODE_TYPE_Epis_VT^MDC|||||F
 OBX|69|CWE|739600^MDC_IDC_EPISODE_VENDOR_TYPE^MDC|11|771075
 ^MDC_IDC_ENUM_EPISODE_VENDOR_TYPE_BSX-Epis_VT-1^MDC|||||F
 OBX|70|CWE|739584^MDC_IDC_EPISODE_TYPE_INDUCED^MDC|11|755329
 ^MDC_IDC_ENUM_EPISODE_TYPE_INDUCED_YES^MDC|||||F
 OBX|71|NM|739648^MDC_IDC_EPISODE_VENTRICULAR_INTERVAL_AT_DETECTION
 ^MDC|11|30000|ms|||||F
 OBX|72|NM|739712^MDC_IDC_EPISODE_DURATION^MDC|11|100|s|||||F
 OBX|73|ST|739680^MDC_IDC_EPISODE_DETECTION_THERAPY_DETAILS
 ^MDC|11|VT-1 ATPx1, 0.1J, 0.2J, 31Jx2|||||F
 OBX|74|ST|739536^MDC_IDC_EPISODE_ID^MDC|12|ATR-5|||||F
 OBX|75|DTM|739552^MDC_IDC_EPISODE_DTM^MDC|12|200101020304|||||F
 OBX|76|CWE|739568^MDC_IDC_EPISODE_TYPE^MDC|12|754883
 ^MDC_IDC_ENUM_EPISODE_TYPE_Epis_ATAF^MDC|||||F
 OBX|77|CWE|739600^MDC_IDC_EPISODE_VENDOR_TYPE^MDC|12|771078
 ^MDC_IDC_ENUM_EPISODE_VENDOR_TYPE_BSX-Epis_ATR^MDC|||||F
 OBX|78|NM|739616^MDC_IDC_EPISODE_atrial_INTERVAL_AT_DETECTION^MDC|12|20000|ms|||||F
 OBX|79|NM|739712^MDC_IDC_EPISODE_DURATION^MDC|12|100|s|||||F
 OBX|80|ST|739680^MDC_IDC_EPISODE_DETECTION_THERAPY_DETAILS^MDC|12|ATR|||||F
 OBX|81|ST|739536^MDC_IDC_EPISODE_ID^MDC|13|V-4|||||F
 OBX|82|DTM|739552^MDC_IDC_EPISODE_DTM^MDC|13|200101020304|||||F
 OBX|83|CWE|739568^MDC_IDC_EPISODE_TYPE^MDC|13|754882
 ^MDC_IDC_ENUM_EPISODE_TYPE_Epis_VT^MDC|||||F

OBX|84|CWE|739600^MDC_IDC_EPISODE_VENDOR_TYPE^MDC|13|771077
 ^MDC_IDC_ENUM_EPISODE_VENDOR_TYPE_Bsx-Epis_NSVT^MDC|||||F
 OBX|85|CWE|739584^MDC_IDC_EPISODE_TYPE_INDUCED^MDC|13|755329
 ^MDC_IDC_ENUM_EPISODE_TYPE_INDUCED_YES^MDC|||||F
 OBX|86|NM|739648^MDC_IDC_EPISODE_VENTRICULAR_INTERVAL_AT_DETECTION
 ^MDC|13|30000|ms|||||F
 OBX|87|NM|739712^MDC_IDC_EPISODE_DURATION^MDC|13|100|s|||||F
 OBX|88|ST|739680^MDC_IDC_EPISODE_DETECTION_THERAPY_DETAILS^MDC|13|NonSustV|||||F
 OBX|89|ST|739536^MDC_IDC_EPISODE_ID^MDC|14|V-3|||||F
 OBX|90|DTM|739552^MDC_IDC_EPISODE_DTM^MDC|14|200101020304|||||F
 OBX|91|CWE|739568^MDC_IDC_EPISODE_TYPE^MDC|14|754882
 ^MDC_IDC_ENUM_EPISODE_TYPE_Epis_VT^MDC|||||F
 OBX|92|CWE|739600^MDC_IDC_EPISODE_VENDOR_TYPE^MDC|14|771074
 ^MDC_IDC_ENUM_EPISODE_VENDOR_TYPE_Bsx-Epis_VT^MDC|||||F
 OBX|93|CWE|739584^MDC_IDC_EPISODE_TYPE_INDUCED^MDC|14|755329
 ^MDC_IDC_ENUM_EPISODE_TYPE_INDUCED_YES^MDC|||||F
 OBX|94|NM|739648^MDC_IDC_EPISODE_VENTRICULAR_INTERVAL_AT_DETECTION
 ^MDC|14|30000|ms|||||F
 OBX|95|NM|739712^MDC_IDC_EPISODE_DURATION^MDC|14|100|s|||||F
 OBX|96|ST|739680^MDC_IDC_EPISODE_DETECTION_THERAPY_DETAILS
 ^MDC|14|VT ATPx1, 0.1J, 0.2J, 31Jx2|||||F
 OBX|97|ST|739536^MDC_IDC_EPISODE_ID^MDC|15|SBR-2|||||F
 OBX|98|DTM|739552^MDC_IDC_EPISODE_DTM^MDC|15|200101020304|||||F
 OBX|99|CWE|739568^MDC_IDC_EPISODE_TYPE^MDC|15|754888
 ^MDC_IDC_ENUM_EPISODE_TYPE_Epis_Other^MDC|||||F
 OBX|100|CWE|739600^MDC_IDC_EPISODE_VENDOR_TYPE^MDC|15|||||F
 OBX|101|NM|739616^MDC_IDC_EPISODE_ATRIAL_INTERVAL_AT_DETECTION^MDC|15|20000|ms|||||F
 OBX|102|NM|739712^MDC_IDC_EPISODE_DURATION^MDC|15|100|s|||||F
 OBX|103|ST|739680^MDC_IDC_EPISODE_DETECTION_THERAPY_DETAILS^MDC|15|SBR|||||F
 OBX|104|ST|739536^MDC_IDC_EPISODE_ID^MDC|16|V-1|||||F
 OBX|105|DTM|739552^MDC_IDC_EPISODE_DTM^MDC|16|200101020304|||||F
 OBX|106|CWE|739568^MDC_IDC_EPISODE_TYPE^MDC|16|754888
 ^MDC_IDC_ENUM_EPISODE_TYPE_Epis_Other^MDC|||||F
 OBX|107|CWE|739600^MDC_IDC_EPISODE_VENDOR_TYPE^MDC|16|||||F
 OBX|108|CWE|739584^MDC_IDC_EPISODE_TYPE_INDUCED^MDC|16|755329
 ^MDC_IDC_ENUM_EPISODE_TYPE_INDUCED_YES^MDC|||||F
 OBX|109|NM|739648^MDC_IDC_EPISODE_VENTRICULAR_INTERVAL_AT_DETECTION
 ^MDC|16|30000|ms|||||F
 OBX|110|NM|739712^MDC_IDC_EPISODE_DURATION^MDC|16|100|s|||||F
 OBX|111|ST|739680^MDC_IDC_EPISODE_DETECTION_THERAPY_DETAILS
 ^MDC|16|Cmd V Therapy Delivered|||||F
 OBX|112|ED|18750-0^Cardiac Electrophysiology Report^LN||Application^PDF^
 ^Base64^{encoded PDF included here}|||||F||201001151330-0500
 OBX|113|ED|18750-0^Cardiac Electrophysiology Report^LN|4|Application^PDF^
 ^Base64^{encoded PDF included here}|||||F||201001151330-0500
 OBX|114|CWE|720897^MDC_IDC_DEV_TYPE^MDC||753665^MDC_IDC_ENUM_DEV_TYPE_IPG^MDC|||||F
 OBX|115|ST|720898^MDC_IDC_DEV_MODEL^MDC||N119|||||F
 OBX|116|ST|720899^MDC_IDC_DEV_SERIAL^MDC||900141|||||F
 OBX|117|CWE|720900^MDC_IDC_DEV_MFG^MDC||753732^MDC_IDC_ENUM_MFG_Bsx^MDC|||||F
 OBX|118|DTM|720901^MDC_IDC_DEV_IMPLANT_DT^MDC||20120513|||||F
 OBX|119|ST|720961^MDC_IDC_LEAD_MODEL^MDC|1|12345|||||F
 OBX|120|ST|720962^MDC_IDC_LEAD_SERIAL^MDC|1|6789|||||F
 OBX|121|CWE|720963^MDC_IDC_LEAD_MFG^MDC|1|753731^MDC_IDC_ENUM_MFG_BIO^MDC|||||F
 OBX|122|CWE|720965^MDC_IDC_LEAD_POLARITY_TYPE^MDC|1|753793
 ^MDC_IDC_ENUM_LEAD_POLARITY_TYPE_UNI^MDC|||||F
 OBX|123|DTM|720964^MDC_IDC_LEAD_IMPLANT_DT^MDC|1|201205|||||F
 OBX|124|CWE|720966^MDC_IDC_LEAD_LOCATION^MDC|1|753858
 ^MDC_IDC_ENUM_LEAD_LOCATION_CHAMBER_LV^MDC|||||F
 OBX|125|CWE|720967^MDC_IDC_LEAD_LOCATION_DETAIL_1
 ^MDC|1|753922^MDC_IDC_ENUM_LEAD_LOCATION_DETAIL_Apex^MDC|||||F
 OBX|126|CWE|720968^MDC_IDC_LEAD_LOCATION_DETAIL_2^MDC|1|753925
 ^MDC_IDC_ENUM_LEAD_LOCATION_DETAIL_VenaCava^MDC|||||F
 OBX|127|ST|720961^MDC_IDC_LEAD_MODEL^MDC|2|12345|||||F
 OBX|128|ST|720962^MDC_IDC_LEAD_SERIAL^MDC|2|6789|||||F
 OBX|129|CWE|720963^MDC_IDC_LEAD_MFG^MDC|2|753731^MDC_IDC_ENUM_MFG_BIO^MDC|||||F

OBX|130|CWE|720965^MDC_IDC_LEAD_POLARITY_TYPE^MDC|2|753793
 ^MDC_IDC_ENUM_LEAD_POLARITY_TYPE_UNI^MDC|||||F
 OBX|131|DTM|720964^MDC_IDC_LEAD_IMPLANT_DT^MDC|2|201205|||||F
 OBX|132|CWE|720966^MDC_IDC_LEAD_LOCATION^MDC|2|753858
 ^MDC_IDC_ENUM_LEAD_LOCATION_CHAMBER_LV^MDC|||||F
 OBX|133|CWE|720967^MDC_IDC_LEAD_LOCATION_DETAIL_1^MDC|2|753922
 ^MDC_IDC_ENUM_LEAD_LOCATION_DETAIL_Apex^MDC|||||F
 OBX|134|CWE|720968^MDC_IDC_LEAD_LOCATION_DETAIL_2^MDC|2|753925
 ^MDC_IDC_ENUM_LEAD_LOCATION_DETAIL_VenaCava^MDC|||||F
 OBX|135|ST|720961^MDC_IDC_LEAD_MODEL^MDC|3|12345|||||F
 OBX|136|ST|720962^MDC_IDC_LEAD_SERIAL^MDC|3|6789|||||F
 OBX|137|CWE|720963^MDC_IDC_LEAD_MFG^MDC|3|753731^MDC_IDC_ENUM_MFG_BIO^MDC|||||F
 OBX|138|CWE|720965^MDC_IDC_LEAD_POLARITY_TYPE^MDC|3|753793
 ^MDC_IDC_ENUM_LEAD_POLARITY_TYPE_UNI^MDC|||||F
 OBX|139|DTM|720964^MDC_IDC_LEAD_IMPLANT_DT^MDC|3|201205|||||F
 OBX|140|CWE|720966^MDC_IDC_LEAD_LOCATION^MDC|3|753858
 ^MDC_IDC_ENUM_LEAD_LOCATION_CHAMBER_LV^MDC|||||F
 OBX|141|CWE|720967^MDC_IDC_LEAD_LOCATION_DETAIL_1^MDC|3|753922
 ^MDC_IDC_ENUM_LEAD_LOCATION_DETAIL_Apex^MDC|||||F
 OBX|142|CWE|720968^MDC_IDC_LEAD_LOCATION_DETAIL_2^MDC|3|753925
 ^MDC_IDC_ENUM_LEAD_LOCATION_DETAIL_VenaCava^MDC|||||F
 OBX|143|ST|720961^MDC_IDC_LEAD_MODEL^MDC|4|12345|||||F
 OBX|144|ST|720962^MDC_IDC_LEAD_SERIAL^MDC|4|6789|||||F
 OBX|145|CWE|720963^MDC_IDC_LEAD_MFG^MDC|4|753731^MDC_IDC_ENUM_MFG_BIO^MDC|||||F
 OBX|146|CWE|720965^MDC_IDC_LEAD_POLARITY_TYPE^MDC|4|753793
 ^MDC_IDC_ENUM_LEAD_POLARITY_TYPE_UNI^MDC|||||F
 OBX|147|DTM|720964^MDC_IDC_LEAD_IMPLANT_DT^MDC|4|201205|||||F
 OBX|148|CWE|720966^MDC_IDC_LEAD_LOCATION^MDC|4|753858
 ^MDC_IDC_ENUM_LEAD_LOCATION_CHAMBER_LV^MDC|||||F
 OBX|149|CWE|720967^MDC_IDC_LEAD_LOCATION_DETAIL_1^MDC|4|753922
 ^MDC_IDC_ENUM_LEAD_LOCATION_DETAIL_Apex^MDC|||||F
 OBX|150|CWE|720968^MDC_IDC_LEAD_LOCATION_DETAIL_2^MDC|4|753925
 ^MDC_IDC_ENUM_LEAD_LOCATION_DETAIL_VenaCava^MDC|||||F
 OBX|151|ST|720961^MDC_IDC_LEAD_MODEL^MDC|5|12345|||||F
 OBX|152|ST|720962^MDC_IDC_LEAD_SERIAL^MDC|5|6789|||||F
 OBX|153|CWE|720963^MDC_IDC_LEAD_MFG^MDC|5|753731^MDC_IDC_ENUM_MFG_BIO^MDC|||||F
 OBX|154|CWE|720965^MDC_IDC_LEAD_POLARITY_TYPE^MDC|5|753793
 ^MDC_IDC_ENUM_LEAD_POLARITY_TYPE_UNI^MDC|||||F
 OBX|155|DTM|720964^MDC_IDC_LEAD_IMPLANT_DT^MDC|5|201205|||||F
 OBX|156|CWE|720966^MDC_IDC_LEAD_LOCATION^MDC|5|753858
 ^MDC_IDC_ENUM_LEAD_LOCATION_CHAMBER_LV^MDC|||||F
 OBX|157|CWE|720967^MDC_IDC_LEAD_LOCATION_DETAIL_1^MDC|5|753922
 ^MDC_IDC_ENUM_LEAD_LOCATION_DETAIL_Apex^MDC|||||F
 OBX|158|CWE|720968^MDC_IDC_LEAD_LOCATION_DETAIL_2^MDC|5|753925
 ^MDC_IDC_ENUM_LEAD_LOCATION_DETAIL_VenaCava^MDC|||||F
 OBX|159|ST|720961^MDC_IDC_LEAD_MODEL^MDC|6|12345|||||F
 OBX|160|ST|720962^MDC_IDC_LEAD_SERIAL^MDC|6|6789|||||F
 OBX|161|CWE|720963^MDC_IDC_LEAD_MFG^MDC|6|753731^MDC_IDC_ENUM_MFG_BIO^MDC|||||F
 OBX|162|CWE|720965^MDC_IDC_LEAD_POLARITY_TYPE^MDC|6|753793
 ^MDC_IDC_ENUM_LEAD_POLARITY_TYPE_UNI^MDC|||||F
 OBX|163|DTM|720964^MDC_IDC_LEAD_IMPLANT_DT^MDC|6|201205|||||F
 OBX|164|CWE|720966^MDC_IDC_LEAD_LOCATION^MDC|6|753858
 ^MDC_IDC_ENUM_LEAD_LOCATION_CHAMBER_LV^MDC|||||F
 OBX|165|CWE|720967^MDC_IDC_LEAD_LOCATION_DETAIL_1^MDC|6|753922
 ^MDC_IDC_ENUM_LEAD_LOCATION_DETAIL_Apex^MDC|||||F
 OBX|166|CWE|720968^MDC_IDC_LEAD_LOCATION_DETAIL_2^MDC|6|753925
 ^MDC_IDC_ENUM_LEAD_LOCATION_DETAIL_VenaCava^MDC|||||F
 OBX|167|DTM|721025^MDC_IDC_SESS_DTM^MDC|||201001021310-0600|||||F
 OBX|168|CWE|721026^MDC_IDC_SESS_TYPE^MDC|||754052
 ^MDC_IDC_ENUM_SESS_TYPE_RemoteDeviceInitiated^MDC|||||F
 OBX|169|ST|721033^MDC_IDC_SESS_CLINIC_NAME
 ^MDC|||abcdefghijklmnopqrstuvwxyabcdefghijklmnopqrstuvwxy|||||F
 OBX|170|DTM|721216^MDC_IDC_MSMT_BATTERY_DTM^MDC|||201205221755+0000|||||F
 OBX|171|CWE|721280^MDC_IDC_MSMT_BATTERY_STATUS^MDC|||754113
 ^MDC_IDC_ENUM_BATTERY_STATUS_BOS^MDC|||||F

OBX|172|NM|721472^MDC_IDC_MSMT_BATTERY_REMAINING_LONGEVITY^MDC||132|mo||>|||F
 OBX|173|NM|721536^MDC_IDC_MSMT_BATTERY_REMAINING_PERCENTAGE^MDC||100|%|||F
 OBX|174|DTM|721664^MDC_IDC_MSMT_CAP_CHARGE_DTM^MDC||201205221755|||F
 OBX|175|NM|721728^MDC_IDC_MSMT_CAP_CHARGE_TIME^MDC||3.0|s|||F
 OBX|176|CWE|721856^MDC_IDC_MSMT_CAP_CHARGE_TYPE^MDC||754178
 ^MDC_IDC_ENUM_CHARGE_TYPE_Reformation^MDC|||F
 OBX|177|DTM|721921^MDC_IDC_MSMT_LEADCHNL_RA_DTM_START^MDC||20121211|||F
 OBX|178|DTM|721922^MDC_IDC_MSMT_LEADCHNL_RA_DTM_END^MDC||20121211|||F
 OBX|179|CWE|721984^MDC_IDC_MSMT_LEADCHNL_RA_LEAD_CHANNEL_STATUS^MDC||754241
 ^MDC_IDC_ENUM_CHANNEL_STATUS_CheckLead^MDC|||F
 OBX|180|NM|722051
 ^MDC_IDC_MSMT_LEADCHNL_RA_SENSING_INTR_AMPL_MEAN^MDC||mV|NAV||F||20121211
 OBX|181|DTM|721925^MDC_IDC_MSMT_LEADCHNL_RV_DTM_START^MDC||19990102|||F
 OBX|182|DTM|721926^MDC_IDC_MSMT_LEADCHNL_RV_DTM_END^MDC||20121211|||F
 OBX|183|CWE|721985^MDC_IDC_MSMT_LEADCHNL_RV_LEAD_CHANNEL_STATUS^MDC||754241
 ^MDC_IDC_ENUM_CHANNEL_STATUS_CheckLead^MDC|||F
 OBX|184|NM|722055
 ^MDC_IDC_MSMT_LEADCHNL_RV_SENSING_INTR_AMPL_MEAN^MDC||0.1|mV|<||F||20121211
 OBX|185|DTM|721933^MDC_IDC_MSMT_LEADCHNL_LV_DTM_START^MDC||19990102|||F
 OBX|186|DTM|721934^MDC_IDC_MSMT_LEADCHNL_LV_DTM_END^MDC||20121211|||F
 OBX|187|CWE|721987^MDC_IDC_MSMT_LEADCHNL_LV_LEAD_CHANNEL_STATUS^MDC||754241
 ^MDC_IDC_ENUM_CHANNEL_STATUS_CheckLead^MDC|||F
 OBX|188|NM|722063^MDC_IDC_MSMT_LEADCHNL_LV_SENSING_INTR_AMPL_MEAN
 ^MDC||25.0|mV|>||F||20121211
 OBX|189|CWE|722112^MDC_IDC_MSMT_LEADCHNL_RA_SENSING_POLARITY^MDC||754305
 ^MDC_IDC_ENUM_POLARITY_UNI^MDC|||F
 OBX|190|CWE|722113^MDC_IDC_MSMT_LEADCHNL_RV_SENSING_POLARITY^MDC||754306
 ^MDC_IDC_ENUM_POLARITY_BI^MDC|||F
 OBX|191|CWE|722115^MDC_IDC_MSMT_LEADCHNL_LV_SENSING_POLARITY^MDC|||OFF|||F
 OBX|192|NM|722176^MDC_IDC_MSMT_LEADCHNL_RA_PACING_THRESHOLD_AMPLITUDE
 ^MDC||V|NAV||F||20121211
 OBX|193|NM|722177^MDC_IDC_MSMT_LEADCHNL_RV_PACING_THRESHOLD_AMPLITUDE
 ^MDC||3.0|V|>||F||20121211
 OBX|194|NM|722179^MDC_IDC_MSMT_LEADCHNL_LV_PACING_THRESHOLD_AMPLITUDE
 ^MDC||0.0|V|>||F||20121210
 OBX|195|NM|722240^MDC_IDC_MSMT_LEADCHNL_RA_PACING_THRESHOLD_PULSEWIDTH
 ^MDC||ms|NAV||F||19990102
 OBX|196|NM|722241^MDC_IDC_MSMT_LEADCHNL_RV_PACING_THRESHOLD_PULSEWIDTH
 ^MDC||0.4|ms|||F||19990102
 OBX|197|NM|722243^MDC_IDC_MSMT_LEADCHNL_LV_PACING_THRESHOLD_PULSEWIDTH
 ^MDC||0.4|ms|||F||19990102
 OBX|198|CWE|722304^MDC_IDC_MSMT_LEADCHNL_RA_PACING_THRESHOLD_MEASUREMENT_METHOD
 ^MDC||754369^MDC_IDC_ENUM_MEASUREMENT_METHOD_ProgrammerManual^MDC|||F
 OBX|199|CWE|722305^MDC_IDC_MSMT_LEADCHNL_RV_PACING_THRESHOLD_MEASUREMENT_METHOD
 ^MDC||754369^MDC_IDC_ENUM_MEASUREMENT_METHOD_ProgrammerManual^MDC|||F
 OBX|200|CWE|722307^MDC_IDC_MSMT_LEADCHNL_LV_PACING_THRESHOLD_MEASUREMENT_METHOD
 ^MDC||754369^MDC_IDC_ENUM_MEASUREMENT_METHOD_ProgrammerManual^MDC|||F
 OBX|201|CWE|722368^MDC_IDC_MSMT_LEADCHNL_RA_PACING_THRESHOLD_POLARITY^MDC||754305
 ^MDC_IDC_ENUM_POLARITY_UNI^MDC|||F
 OBX|202|CWE|722369^MDC_IDC_MSMT_LEADCHNL_RV_PACING_THRESHOLD_POLARITY^MDC||754306
 ^MDC_IDC_ENUM_POLARITY_BI^MDC|||F
 OBX|203|CWE|722371^MDC_IDC_MSMT_LEADCHNL_LV_PACING_THRESHOLD_POLARITY^MDC||754306
 ^MDC_IDC_ENUM_POLARITY_BI^MDC|||F
 OBX|204|NM|722432^MDC_IDC_MSMT_LEADCHNL_RA_IMPEDANCE_VALUE
 ^MDC||200|ohms|<||F||20121211
 OBX|205|NM|722433^MDC_IDC_MSMT_LEADCHNL_RV_IMPEDANCE_VALUE
 ^MDC||2000|ohms|>||F||20121211
 OBX|206|NM|722435^MDC_IDC_MSMT_LEADCHNL_LV_IMPEDANCE_VALUE
 ^MDC||201|ohms|||F||20121209
 OBX|207|CWE|722496^MDC_IDC_MSMT_LEADCHNL_RA_IMPEDANCE_POLARITY^MDC||754305
 ^MDC_IDC_ENUM_POLARITY_UNI^MDC|||F
 OBX|208|CWE|722497^MDC_IDC_MSMT_LEADCHNL_RV_IMPEDANCE_POLARITY^MDC||754305
 ^MDC_IDC_ENUM_POLARITY_UNI^MDC|||F
 OBX|209|CWE|722499^MDC_IDC_MSMT_LEADCHNL_LV_IMPEDANCE_POLARITY^MDC||754306
 ^MDC_IDC_ENUM_POLARITY_BI^MDC|||F

OBX|210|DTM|722560^MDC_IDC_MSMT_LEADHVCHNL_DTM_START^MDC|1|20121109|||||F
 OBX|211|NM|722624^MDC_IDC_MSMT_LEADHVCHNL_IMPEDANCE^MDC|1|ohms|NAV||||F
 OBX|212|CWE|722688^MDC_IDC_MSMT_LEADHVCHNL_MEASUREMENT_TYPE
 ^MDC|1|754433^MDC_IDC_ENUM_HVCHNL_MEASUREMENT_TYPE_LowVoltage^MDC|||||F
 OBX|213|CWE|722752^MDC_IDC_MSMT_LEADHVCHNL_STATUS^MDC|1|754241
 ^MDC_IDC_ENUM_CHANNEL_STATUS_CheckLead^MDC|||||F
 OBX|214|NM|729344^MDC_IDC_SET_CRT_LVRV_DELAY^MDC||-100|ms|||||F
 OBX|215|CWE|729408^MDC_IDC_SET_CRT_PACED_CHAMBERS^MDC||755265
 ^MDC_IDC_ENUM_CRT_PACED_CHAMBERS_RV_Only^MDC|||||F
 OBX|216|NM|729536^MDC_IDC_SET_LEADCHNL_RA_SENSING_SENSITIVITY^MDC||0.5|mV|||||F
 OBX|217|NM|729537^MDC_IDC_SET_LEADCHNL_RV_SENSING_SENSITIVITY^MDC||0.9|mV|||||F
 OBX|218|NM|729539^MDC_IDC_SET_LEADCHNL_LV_SENSING_SENSITIVITY^MDC||1.0|mV|||||F
 OBX|219|CWE|729600^MDC_IDC_SET_LEADCHNL_RA_SENSING_POLARITY^MDC||||OFF||||F
 OBX|220|CWE|729601^MDC_IDC_SET_LEADCHNL_RV_SENSING_POLARITY^MDC||754305
 ^MDC_IDC_ENUM_POLARITY_UNI^MDC|||||F
 OBX|221|CWE|729676^MDC_IDC_SET_LEADCHNL_LV_SENSING_ANODE_LOCATION^MDC||754498
 ^MDC_IDC_ENUM_ELECTRODE_LOCATION_RV^MDC|||||F
 OBX|222|CWE|729740^MDC_IDC_SET_LEADCHNL_LV_SENSING_ANODE_ELECTRODE^MDC||||OFF||||F
 OBX|223|CWE|729804^MDC_IDC_SET_LEADCHNL_LV_SENSING_CATHODE_LOCATION^MDC||||OFF||||F
 OBX|224|CWE|729868^MDC_IDC_SET_LEADCHNL_LV_SENSING_CATHODE_ELECTRODE
 ^MDC||754561^MDC_IDC_ENUM_ELECTRODE_NAME_Tip^MDC|||||F
 OBX|225|CWE|729920^MDC_IDC_SET_LEADCHNL_RA_SENSING_ADAPTATION_MODE^MDC||754625
 ^MDC_IDC_ENUM_SENSING_ADAPTATION_MODE_AdaptiveSensing^MDC|||||F
 OBX|226|CWE|729921^MDC_IDC_SET_LEADCHNL_RV_SENSING_ADAPTATION_MODE^MDC||754625
 ^MDC_IDC_ENUM_SENSING_ADAPTATION_MODE_AdaptiveSensing^MDC|||||F
 OBX|227|CWE|729923^MDC_IDC_SET_LEADCHNL_LV_SENSING_ADAPTATION_MODE^MDC||754626
 ^MDC_IDC_ENUM_SENSING_ADAPTATION_MODE_FixedSensing^MDC|||||F
 OBX|228|NM|729984^MDC_IDC_SET_LEADCHNL_RA_PACING_AMPLITUDE^MDC||5.1|V|||||F
 OBX|229|NM|729985^MDC_IDC_SET_LEADCHNL_RV_PACING_AMPLITUDE^MDC||5.0|V|||||F
 OBX|230|NM|729987^MDC_IDC_SET_LEADCHNL_LV_PACING_AMPLITUDE^MDC||2.8|V|||||F
 OBX|231|NM|730048^MDC_IDC_SET_LEADCHNL_RA_PACING_PULSEWIDTH^MDC||100.0|ms|||||F
 OBX|232|NM|730049^MDC_IDC_SET_LEADCHNL_RV_PACING_PULSEWIDTH^MDC||200.0|ms|||||F
 OBX|233|NM|730051^MDC_IDC_SET_LEADCHNL_LV_PACING_PULSEWIDTH^MDC||300.0|ms|||||F
 OBX|234|CWE|730112^MDC_IDC_SET_LEADCHNL_RA_PACING_POLARITY^MDC||754305
 ^MDC_IDC_ENUM_POLARITY_UNI^MDC|||||F
 OBX|235|CWE|730113^MDC_IDC_SET_LEADCHNL_RV_PACING_POLARITY^MDC||754305
 ^MDC_IDC_ENUM_POLARITY_UNI^MDC|||||F
 OBX|236|CWE|730188^MDC_IDC_SET_LEADCHNL_LV_PACING_ANODE_LOCATION^MDC||754498
 ^MDC_IDC_ENUM_ELECTRODE_LOCATION_RV^MDC|||||F
 OBX|237|CWE|730252^MDC_IDC_SET_LEADCHNL_LV_PACING_ANODE_ELECTRODE^MDC||754564
 ^MDC_IDC_ENUM_ELECTRODE_NAME_Ring2^MDC|||||F
 OBX|238|CWE|730316^MDC_IDC_SET_LEADCHNL_LV_PACING_CATHODE_LOCATION^MDC||754500
 ^MDC_IDC_ENUM_ELECTRODE_LOCATION_LV^MDC|||||F
 OBX|239|CWE|730380^MDC_IDC_SET_LEADCHNL_LV_PACING_CATHODE_ELECTRODE^MDC||754566
 ^MDC_IDC_ENUM_ELECTRODE_NAME_Ring4^MDC|||||F
 OBX|240|CWE|730432^MDC_IDC_SET_LEADCHNL_RA_PACING_CAPTURE_MODE^MDC||754690
 ^MDC_IDC_ENUM_PACING_CAPTURE_MODE_FixedPacing^MDC|||||F
 OBX|241|CWE|730433^MDC_IDC_SET_LEADCHNL_RV_PACING_CAPTURE_MODE^MDC||754691
 ^MDC_IDC_ENUM_PACING_CAPTURE_MODE_MonitorCapture^MDC|||||F
 OBX|242|CWE|730435^MDC_IDC_SET_LEADCHNL_LV_PACING_CAPTURE_MODE^MDC||754690
 ^MDC_IDC_ENUM_PACING_CAPTURE_MODE_FixedPacing^MDC|||||F
 OBX|243|CWE|730752^MDC_IDC_SET_BRADY_MODE^MDC||754760^MDC_IDC_ENUM_BRADY_MODE_DDD
 ^MDC|||||F
 OBX|244|NM|730880^MDC_IDC_SET_BRADY_LOWRATE^MDC||100|{beats}/min|||||F
 OBX|245|ST|731072^MDC_IDC_SET_BRADY_SENSOR_TYPE^MDC|Accelerometer + MV|||||F
 OBX|246|NM|731136^MDC_IDC_SET_BRADY_MAX_TRACKING_RATE^MDC||130|{beats}/min|||||F
 OBX|247|NM|731200^MDC_IDC_SET_BRADY_MAX_SENSOR_RATE^MDC||180|{beats}/min|||||F
 OBX|248|NM|731265^MDC_IDC_SET_BRADY_SAV_DELAY_HIGH^MDC||102|ms|||||F
 OBX|249|NM|731266^MDC_IDC_SET_BRADY_SAV_DELAY_LOW^MDC||101|ms|||||F
 OBX|250|NM|731329^MDC_IDC_SET_BRADY_PAV_DELAY_HIGH^MDC||104|ms|||||F
 OBX|251|NM|731330^MDC_IDC_SET_BRADY_PAV_DELAY_LOW^MDC||103|ms|||||F
 OBX|252|CWE|731392^MDC_IDC_SET_BRADY_AT_MODE_SWITCH_MODE^MDC||754763
 ^MDC_IDC_ENUM_BRADY_MODE_DDIR^MDC|||||F
 OBX|253|NM|731456^MDC_IDC_SET_BRADY_AT_MODE_SWITCH_RATE^MDC||130|{beats}/min|||||F

OBX|254|CWE|731520^MDC_IDC_SET_TACHYTHERAPY_VSTAT^MDC||754817
^MDC_IDC_ENUM_THERAPY_STATUS_On^MDC|||||F
OBX|255|CWE|731648^MDC_IDC_SET_ZONE_TYPE^MDC|1|754945^MDC_IDC_ENUM_ZONE_TYPE_Zone_VF
^MDC|||||F
OBX|256|CWE|731712^MDC_IDC_SET_ZONE_VENDOR_TYPE^MDC|1|771139
^MDC_IDC_ENUM_ZONE_VENDOR_TYPE_BSX-Zone_VF^MDC|||||F
OBX|257|CWE|731776^MDC_IDC_SET_ZONE_STATUS^MDC|1|755009
^MDC_IDC_ENUM_ZONE_STATUS_Active^MDC|||||F
OBX|258|NM|731840^MDC_IDC_SET_ZONE_DETECTION_INTERVAL^MDC|1|462|ms|||||F
OBX|259|CWE|732097^MDC_IDC_SET_ZONE_TYPE_ATP_1^MDC|1|755073
^MDC_IDC_ENUM_ATP_TYPE_Burst^MDC|||||F
OBX|260|NM|732161^MDC_IDC_SET_ZONE_NUM_ATP_SEQS_1^MDC|1|1|||||F
OBX|261|NM|732225^MDC_IDC_SET_ZONE_SHOCK_ENERGY_1^MDC|1|21.1|J|||||F
OBX|262|NM|732289^MDC_IDC_SET_ZONE_NUM_SHOCKS_1^MDC|1|1|||||F
OBX|263|NM|732226^MDC_IDC_SET_ZONE_SHOCK_ENERGY_2^MDC|1|31.1|J|||||F
OBX|264|NM|732290^MDC_IDC_SET_ZONE_NUM_SHOCKS_2^MDC|1|1|||||F
OBX|265|NM|732227^MDC_IDC_SET_ZONE_SHOCK_ENERGY_3^MDC|1|41.1|J|||||F
OBX|266|NM|732291^MDC_IDC_SET_ZONE_NUM_SHOCKS_3^MDC|1|6|||||F
OBX|267|CWE|731648^MDC_IDC_SET_ZONE_TYPE^MDC|2|754946^MDC_IDC_ENUM_ZONE_TYPE_Zone_VT
^MDC|||||F
OBX|268|CWE|731712^MDC_IDC_SET_ZONE_VENDOR_TYPE^MDC|2|771137
^MDC_IDC_ENUM_ZONE_VENDOR_TYPE_BSX-Zone_VT^MDC|||||F
OBX|269|CWE|731776^MDC_IDC_SET_ZONE_STATUS^MDC|2|755009
^MDC_IDC_ENUM_ZONE_STATUS_Active^MDC|||||F
OBX|270|NM|731840^MDC_IDC_SET_ZONE_DETECTION_INTERVAL^MDC|2|463|ms|||||F
OBX|271|CWE|732097^MDC_IDC_SET_ZONE_TYPE_ATP_1^MDC|2|755073
^MDC_IDC_ENUM_ATP_TYPE_Burst^MDC|||||F
OBX|272|NM|732161^MDC_IDC_SET_ZONE_NUM_ATP_SEQS_1^MDC|2|2|||||F
OBX|273|CWE|732098^MDC_IDC_SET_ZONE_TYPE_ATP_2^MDC|2|755074
^MDC_IDC_ENUM_ATP_TYPE_Ramp^MDC|||||F
OBX|274|NM|732162^MDC_IDC_SET_ZONE_NUM_ATP_SEQS_2^MDC|2|3|||||F
OBX|275|NM|732225^MDC_IDC_SET_ZONE_SHOCK_ENERGY_1^MDC|2|22.2|J|||||F
OBX|276|NM|732289^MDC_IDC_SET_ZONE_NUM_SHOCKS_1^MDC|2|1|||||F
OBX|277|NM|732226^MDC_IDC_SET_ZONE_SHOCK_ENERGY_2^MDC|2|32.2|J|||||F
OBX|278|NM|732290^MDC_IDC_SET_ZONE_NUM_SHOCKS_2^MDC|2|1|||||F
OBX|279|NM|732227^MDC_IDC_SET_ZONE_SHOCK_ENERGY_3^MDC|2|42.2|J|||||F
OBX|280|NM|732291^MDC_IDC_SET_ZONE_NUM_SHOCKS_3^MDC|2|3|||||F
OBX|281|CWE|731648^MDC_IDC_SET_ZONE_TYPE^MDC|3|754946^MDC_IDC_ENUM_ZONE_TYPE_Zone_VT
^MDC|||||F
OBX|282|CWE|731712^MDC_IDC_SET_ZONE_VENDOR_TYPE^MDC|3|771138
^MDC_IDC_ENUM_ZONE_VENDOR_TYPE_BSX-Zone_VT-1^MDC|||||F
OBX|283|CWE|731776^MDC_IDC_SET_ZONE_STATUS^MDC|3|755009
^MDC_IDC_ENUM_ZONE_STATUS_Active^MDC|||||F
OBX|284|NM|731840^MDC_IDC_SET_ZONE_DETECTION_INTERVAL^MDC|3|465|ms|||||F
OBX|285|CWE|732097^MDC_IDC_SET_ZONE_TYPE_ATP_1^MDC|3|755074
^MDC_IDC_ENUM_ATP_TYPE_Ramp^MDC|||||F
OBX|286|NM|732161^MDC_IDC_SET_ZONE_NUM_ATP_SEQS_1^MDC|3|4|||||F
OBX|287|CWE|732098^MDC_IDC_SET_ZONE_TYPE_ATP_2^MDC|3|755076
^MDC_IDC_ENUM_ATP_TYPE_RampScan^MDC|||||F
OBX|288|NM|732162^MDC_IDC_SET_ZONE_NUM_ATP_SEQS_2^MDC|3|5|||||F
OBX|289|NM|732225^MDC_IDC_SET_ZONE_SHOCK_ENERGY_1^MDC|3|23.2|J|||||F
OBX|290|NM|732289^MDC_IDC_SET_ZONE_NUM_SHOCKS_1^MDC|3|1|||||F
OBX|291|NM|732226^MDC_IDC_SET_ZONE_SHOCK_ENERGY_2^MDC|3|33.2|J|||||F
OBX|292|NM|732290^MDC_IDC_SET_ZONE_NUM_SHOCKS_2^MDC|3|1|||||F
OBX|293|NM|732227^MDC_IDC_SET_ZONE_SHOCK_ENERGY_3^MDC|3|43.2|J|||||F
OBX|294|NM|732291^MDC_IDC_SET_ZONE_NUM_SHOCKS_3^MDC|3|2|||||F
OBX|295|DTM|737489^MDC_IDC_STAT_DTM_START^MDC||20120522|||||F
OBX|296|DTM|737490^MDC_IDC_STAT_DTM_END^MDC||20120522|||||F
OBX|297|DTM|737505^MDC_IDC_STAT_BRADY_DTM_START^MDC||20120522|||||F
OBX|298|DTM|737506^MDC_IDC_STAT_BRADY_DTM_END^MDC||20120522|||||F
OBX|299|NM|737520^MDC_IDC_STAT_BRADY_RA_PERCENT_PACED^MDC||0|%|||||F
OBX|300|NM|737536^MDC_IDC_STAT_BRADY_RV_PERCENT_PACED^MDC||0|%|||||F
OBX|301|DTM|737777^MDC_IDC_STAT_CRT_DTM_START^MDC||20120522|||||F
OBX|302|DTM|737778^MDC_IDC_STAT_CRT_DTM_END^MDC||20120522|||||F
OBX|303|NM|737792^MDC_IDC_STAT_CRT_LV_PERCENT_PACED^MDC||0|%|||||F

OBX|304|CWE|737952^MDC_IDC_STAT_EPISODE_TYPE^MDC|1|754882
 ^MDC_IDC_ENUM_EPISODE_TYPE_Epis_VT^MDC|||||F
 OBX|305|CWE|737984^MDC_IDC_STAT_EPISODE_VENDOR_TYPE^MDC|1|771077
 ^MDC_IDC_ENUM_EPISODE_VENDOR_TYPE_BSX-Epis_NSVT^MDC|||||F
 OBX|306|NM|738000^MDC_IDC_STAT_EPISODE_RECENT_COUNT^MDC|1|0|||||F
 OBX|307|DTM|738017^MDC_IDC_STAT_EPISODE_RECENT_COUNT_DTM_START^MDC|1|20120522|||||F
 OBX|308|DTM|738018^MDC_IDC_STAT_EPISODE_RECENT_COUNT_DTM_END^MDC|1|20120522|||||F
 OBX|309|CWE|737952^MDC_IDC_STAT_EPISODE_TYPE^MDC|1|754882
 ^MDC_IDC_ENUM_EPISODE_TYPE_Epis_VT^MDC|||||F
 OBX|310|CWE|737984^MDC_IDC_STAT_EPISODE_VENDOR_TYPE^MDC|1|||||F
 OBX|311|NM|738000^MDC_IDC_STAT_EPISODE_RECENT_COUNT^MDC|1|0|||||F
 OBX|312|DTM|738017^MDC_IDC_STAT_EPISODE_RECENT_COUNT_DTM_START^MDC|1|20120522|||||F
 OBX|313|DTM|738018^MDC_IDC_STAT_EPISODE_RECENT_COUNT_DTM_END^MDC|1|20120522|||||F
 OBX|314|CWE|737952^MDC_IDC_STAT_EPISODE_TYPE^MDC|2|754884
 ^MDC_IDC_ENUM_EPISODE_TYPE_Epis_SVT^MDC|||||F
 OBX|315|CWE|737984^MDC_IDC_STAT_EPISODE_VENDOR_TYPE^MDC|2|771076
 MDC_IDC_ENUM_EPISODE_VENDOR_TYPE_BSX-Epis_SVT^MDC|||||F
 OBX|316|NM|738000^MDC_IDC_STAT_EPISODE_RECENT_COUNT^MDC|2|0|||||F
 OBX|317|DTM|738017^MDC_IDC_STAT_EPISODE_RECENT_COUNT_DTM_START^MDC|2|20120522|||||F
 OBX|318|DTM|738018^MDC_IDC_STAT_EPISODE_RECENT_COUNT_DTM_END^MDC|2|20120522|||||F
 OBX|319|CWE|737952^MDC_IDC_STAT_EPISODE_TYPE^MDC|4|754883
 ^MDC_IDC_ENUM_EPISODE_TYPE_Epis_ATAF^MDC|||||F
 OBX|320|CWE|737984^MDC_IDC_STAT_EPISODE_VENDOR_TYPE^MDC|4|771078
 ^MDC_IDC_ENUM_EPISODE_VENDOR_TYPE_BSX-Epis_ATR^MDC|||||F
 OBX|321|NM|738000^MDC_IDC_STAT_EPISODE_RECENT_COUNT^MDC|4|0|||||F
 OBX|322|DTM|738017^MDC_IDC_STAT_EPISODE_RECENT_COUNT_DTM_START^MDC|4|20120522|||||F
 OBX|323|DTM|738018^MDC_IDC_STAT_EPISODE_RECENT_COUNT_DTM_END^MDC|4|20120522|||||F
 OBX|324|CWE|737952^MDC_IDC_STAT_EPISODE_TYPE^MDC|5|754888
 ^MDC_IDC_ENUM_EPISODE_TYPE_Epis_Other^MDC|||||F
 OBX|325|CWE|737984^MDC_IDC_STAT_EPISODE_VENDOR_TYPE^MDC|5|||||F
 OBX|326|NM|738000^MDC_IDC_STAT_EPISODE_RECENT_COUNT^MDC|5|0|||||F
 OBX|327|DTM|738017^MDC_IDC_STAT_EPISODE_RECENT_COUNT_DTM_START^MDC|5|20120522|||||F
 OBX|328|DTM|738018^MDC_IDC_STAT_EPISODE_RECENT_COUNT_DTM_END^MDC|5|20120522|||||F
 OBX|329|CWE|737952^MDC_IDC_STAT_EPISODE_TYPE^MDC|6|754881
 ^MDC_IDC_ENUM_EPISODE_TYPE_Epis_VF^MDC|||||F
 OBX|330|CWE|737984^MDC_IDC_STAT_EPISODE_VENDOR_TYPE^MDC|6|771073
 ^MDC_IDC_ENUM_EPISODE_VENDOR_TYPE_BSX-Epis_VF^MDC|||||F
 OBX|331|NM|738000^MDC_IDC_STAT_EPISODE_RECENT_COUNT^MDC|6|1|||||F
 OBX|332|DTM|738017^MDC_IDC_STAT_EPISODE_RECENT_COUNT_DTM_START^MDC|6|20120522|||||F
 OBX|333|DTM|738018^MDC_IDC_STAT_EPISODE_RECENT_COUNT_DTM_END^MDC|6|20120522|||||F
 OBX|334|CWE|737952^MDC_IDC_STAT_EPISODE_TYPE^MDC|7|754882
 ^MDC_IDC_ENUM_EPISODE_TYPE_Epis_VT^MDC|||||F
 OBX|335|CWE|737984^MDC_IDC_STAT_EPISODE_VENDOR_TYPE^MDC|7|771074
 ^MDC_IDC_ENUM_EPISODE_VENDOR_TYPE_BSX-Epis_VT^MDC|||||F
 OBX|336|NM|738000^MDC_IDC_STAT_EPISODE_RECENT_COUNT^MDC|7|2|||||F
 OBX|337|DTM|738017^MDC_IDC_STAT_EPISODE_RECENT_COUNT_DTM_START^MDC|7|20120522|||||F
 OBX|338|DTM|738018^MDC_IDC_STAT_EPISODE_RECENT_COUNT_DTM_END^MDC|7|20120522|||||F
 OBX|339|CWE|737952^MDC_IDC_STAT_EPISODE_TYPE^MDC|8|754882
 ^MDC_IDC_ENUM_EPISODE_TYPE_Epis_VT^MDC|||||F
 OBX|340|CWE|737984^MDC_IDC_STAT_EPISODE_VENDOR_TYPE^MDC|8|771075
 ^MDC_IDC_ENUM_EPISODE_VENDOR_TYPE_BSX-Epis_VT-1^MDC|||||F
 OBX|341|NM|738000^MDC_IDC_STAT_EPISODE_RECENT_COUNT^MDC|8|3|||||F
 OBX|342|DTM|738017^MDC_IDC_STAT_EPISODE_RECENT_COUNT_DTM_START^MDC|8|20120522|||||F
 OBX|343|DTM|738018^MDC_IDC_STAT_EPISODE_RECENT_COUNT_DTM_END^MDC|8|20120522|||||F
 OBX|344|CWE|737952^MDC_IDC_STAT_EPISODE_TYPE^MDC|9|754884
 ^MDC_IDC_ENUM_EPISODE_TYPE_Epis_Monitor^MDC|||||F
 OBX|345|CWE|737984^MDC_IDC_STAT_EPISODE_VENDOR_TYPE^MDC|9|||||F
 OBX|346|NM|738000^MDC_IDC_STAT_EPISODE_RECENT_COUNT^MDC|9|4|||||F
 OBX|347|DTM|738017^MDC_IDC_STAT_EPISODE_RECENT_COUNT_DTM_START^MDC|9|20120522|||||F
 OBX|348|DTM|738018^MDC_IDC_STAT_EPISODE_RECENT_COUNT_DTM_END^MDC|9|20120522|||||F

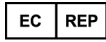
Outdated version. Do not use.
Version überholt. Nicht verwenden.
Version obsolète. Ne pas utiliser.
Versión obsoleta. No utilizar.
Versione obsoleta. Non utilizzare.
Verouderde versie. Niet gebruiken.
Föråldrad version. Använd ej.
Παλιά έκδοση. Μην την χρησιμοποιείτε.
Versão obsoleta. Não utilize.
Forældet version. Må ikke anvendes.
Zastaralá verze. Nepoužívat.
Utdatert versjon. Skal ikke brukes.
Zastaraná verzia. Nepoužívať.
Elavult verzió. Ne használja!
Wersja nieaktualna. Nie używać.

Outdated version. Do not use.
Version überholt. Nicht verwenden.
Version obsolète. Ne pas utiliser.
Versión obsoleta. No utilizar.
Versione obsoleta. Non utilizzare.
Verouderde versie. Niet gebruiken.
Föråldrad version. Använd ej.
Παλιά έκδοση. Μην την χρησιμοποιείτε.
Versão obsoleta. Não utilize.
Forældet version. Må ikke anvendes.
Zastaralá verze. Nepoužívat.
Utdatert versjon. Skal ikke brukes.
Zastaraná verzia. Nepoužívať.
Elavult verzió. Ne használja!
Wersja nieaktualna. Nie używać.

Boston Scientific



Boston Scientific
4100 Hamline Avenue North
St. Paul, MN 55112-5798 USA



Guidant Europe NV/SA; Boston Scientific
Green Square, Lambroekstraat 5D
1831 Diegem, Belgium

1.800.CARDIAC (227.3422)
+1.651.582.4000

www.bostonscientific.com

© 2013 Boston Scientific Corporation or its affiliates.
All rights reserved.

359273-008 SK Europe 2013-10

Outdated version. Do not use.
Version überholt. Nicht verwenden.
Version obsolete. Ne pas utiliser.
Versión obsoleta. No utilizar.
Versione obsoleta. Non utilizzare.
Verouderde versie. Niet gebruiken.
Föråldrad version. Använd ej.
Παλιά έκδοση. Μην την χρησιμοποιείτε.
Versão obsoleta. Não utilize.
Forældet version. Må ikke anvendes.
Zastaralá verze. Nepoužívat.
Utdatert versjon. Skal ikke brukes.
Zastaraná verzia. Nepoužívať.
Elavult verzió. Ne használja!
Wersja nieaktualna. Nie używać.

